

板の端、物体の角における  
流れの特異性

群馬大教育 阿曾 義之

### §1. 序

断面が角をもつ無限に長い柱状物体を過ぎる2次元的粘性流の問題を、解析的にまたは数値的に解くためには、あらかじめ角における流れの特異性を知ることが望ましい。

流れの関数を、充分に角に近い範囲で頂点からの距離 $r$ の巾の級数に展開したときの第1項は、Stokes近似の方程式<sup>(1)</sup>したがう。DeanとMontagnon<sup>(1)</sup>、Moffatt<sup>(2)</sup>は、Stokes近似で、角の近傍の流れの様子を調べ、特に次のような意外な結果を得た。すなわち“断面の角度が約 $214^\circ$ より大きい場合（流れの領域の角度が $146^\circ$ よりも小さい場合）には、無限個の微小な渦が頂点に向って配列し、その大きさと強さは等比級数的に減じている”といふのである。

実際の流れにおいても、果してこのような渦があらわれるかどうかは、研究会の席上でも大いに問題となつた。以下

上記 2 論文の結果を紹介し, Navier-Stokes 方程式の解(実際の流れ)の場合に論及する。

### § 2. 基礎方程式

流速を  $(u, v)$ , 流れの関数を  $\Psi$  ( $u = \Psi_x$ ,  $v = \Psi_y$ ) とし, 変数  $(x, y)$  の代わりに複素変数  $(z, \bar{z})$  を使うと

$$w = u - i v = 2i \Psi_z, \quad \bar{w} = u + i v = -2i \Psi_{\bar{z}}. \quad (1)$$

N-S 方程式は

$$\left. \begin{aligned} \frac{1}{\rho} p_z &= i \kappa \nu \Psi_{zz\bar{z}} + 2(\Psi_z \Psi_{z\bar{z}} - \Psi_{\bar{z}} \Psi_{z\bar{z}}) \\ \frac{1}{\rho} p_{\bar{z}} &= -i \kappa \nu \Psi_{z\bar{z}\bar{z}} + 2(\Psi_{\bar{z}} \Psi_{z\bar{z}} - \Psi_z \Psi_{z\bar{z}}) \end{aligned} \right\} \quad (2)$$

$p$  を消去して

$$\Psi_{zz\bar{z}\bar{z}} + \frac{i}{2\nu} (\Psi_{\bar{z}} \Psi_{zz\bar{z}} - \Psi_z \Psi_{z\bar{z}\bar{z}}) = 0. \quad (3)$$

流れの代表的長さを  $L$ , 代表的速さ (例えば  $(\frac{\partial \Psi}{\partial y})_0$ ) を  $U$ , レイノルツ数を  $R \equiv \frac{LU}{\nu}$  とし,  $\psi = \Psi/LU$ ,  $\xi = \frac{z}{L}$  と変換すると (既に 代表的長さ = 1, 代表的速さ = 1),

$$\psi_{\xi\xi\bar{\xi}\bar{\xi}} + \frac{i}{2} R (\psi_{\bar{\xi}} \psi_{\xi\xi\bar{\xi}} - \psi_{\xi} \psi_{\xi\bar{\xi}\bar{\xi}}) = 0. \quad (3')$$

また更に,  $\psi^* = \psi R$ ,  $z^* = R \xi$  とおくと (代表的長さ =  $R$ , 代表的速さ = 1),

$$\psi_{z^* z^* \bar{z}^* \bar{z}^*}^* + \frac{i}{2} (\psi_{\bar{z}^*}^* \psi_{z^* z^* \bar{z}^*}^* - \psi_{z^*}^* \psi_{z^* \bar{z}^* \bar{z}^*}^*) = 0. \quad (3'')$$

以後, 式(3') または(3'') を扱うが, 便宜上 変数は  $z, \bar{z}$  と書く代わりに すべて  $z$  と記し,  $\psi^*$  も  $\psi$  と書くことにする。

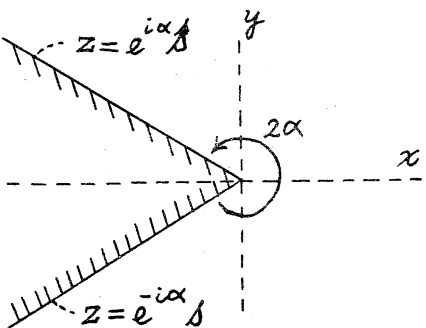
物体断面の角を  $2\pi - 2\alpha$  とし、座標軸を 1-図に示すよ  
うとする。 $\delta$  は頂点からの弧長。

断面が曲率を持つ場合は省略する。

物体表面における境界条件は、

(1)式が  $\psi = \text{real}$  を使っている

ことを考慮して



1-図. 物体断面図

または  $\psi_z = \psi_{\bar{z}} = 0$ . --- (4)

さて、 $\psi$  は原点の近傍で動径  $r$  の巾に展開できるものと仮定する。ただし、 $r$  の巾の次数  $m$  は必ずしも実数とは限らない。

$$\psi = \sum_m F_m = \sum_m r^m f_m(\theta) \quad (\text{註}) \quad (5)$$

これを(3') または(3'') に代入すると、少くとも最初の項  $F_m$  が Stokes 近似の方程式  $\psi_{zz\bar{z}\bar{z}} \equiv (\frac{\partial}{\partial z})^2 \Delta \psi = 0$  を満たすことは明らかである。

(註) やや拡張して

$$\psi = \sum r^m f_m(\theta) + \sum r^m \ln r g_m(\theta)$$

として出発しても、境界条件から  $\ln r$  の項は不要となる（少くも初項に関する限り）ことが証明される。

## §3. Stokes 近似

$$\text{方程式} \quad \psi_{zz\bar{z}\bar{z}} = 0 \quad (6)$$

の解は

$$\begin{aligned} \psi = & A z^m + B \bar{z}^m + C \bar{z} z^{m-1} + D z \bar{z}^{m-1} \\ & + (\bar{A} \bar{z}^{\bar{m}} + \bar{B} z^{\bar{m}} + \bar{C} z \bar{z}^{\bar{m}-1} + \bar{D} \bar{z} z^{\bar{m}-1}) \end{aligned} \quad (7)$$

ただし、第2行目は  $m$  が実数の時は不要で  $B = \bar{A}$ ,  $D = \bar{C}$ .

なお  $x$  軸に関する流れの対称性は

$$\psi(z, \bar{z}) = \mp \psi(\bar{z}, z) \quad i.e. \quad B = \mp A, \quad D = \mp C \quad (8)$$

によって表わされる。ただし上号は流れが上下対称 ( $\psi$  は反対称), 下号は流れが反対称 ( $\psi$  は対称) の場合である。

さらに

(i) 境界上で  $\psi_z = \psi_{\bar{z}} = 0$  より

$$\partial_m \geq 1.$$

(ii)  $m \neq 1$ . 境界条件から簡単に導かれる。

(iii)  $m = 2$  が可能なのは次の場合に限られることが容易に分る:

$$2\alpha = 2\pi, \pi, \text{ および } 2\alpha^*.$$

ただし  $2\alpha^*$  は  $x = \tan x$  の解で, したがって  $\frac{\sin x}{x}$  が極値をとる。

境界条件 (k') から (7) の係数間の関係を求める。

$$\begin{aligned}\psi_z &= z^{m-1} \{ m A + (m-1) C \bar{z} z^{-1} + D \bar{z}^{m-1} z^{-(m-1)} \}, \\ \psi_{\bar{z}} &= \bar{z}^{m-1} \{ m B + C z^{m-1} \bar{z}^{-(m-1)} + (m-1) D z \bar{z}^{-1} \}.\end{aligned}$$

そこで

$$\tau \equiv e^{i2\alpha}, \quad \delta \equiv e^{i2\alpha(m-1)} \quad (9)$$

とおき、境界条件を入れると

$$\left. \begin{aligned} z = e^{i\alpha} \delta \quad \text{K} \text{対し} \quad m A + (m-1) C \tau^{-1} + D \delta^{-1} &= 0 \\ m B + C \delta + (m-1) D \tau &= 0 \end{aligned} \right\} \quad (10)$$

$$\left. \begin{aligned} z = e^{-i\alpha} \delta \quad K \text{対し} \quad m A + (m-1) C \tau + D \delta &= 0 \\ m B + C \delta^{-1} + (m-1) D \tau^{-1} &= 0 \end{aligned} \right\}$$

A, B を消去すると

$$\left. \begin{aligned} (m-1)(\tau - \tau^{-1})C + (\delta - \delta^{-1})D &= 0 \\ (\delta - \delta^{-1})C + (m-1)(\tau - \tau^{-1})D &= 0 \end{aligned} \right\} \quad (11)$$

$$\begin{aligned} \therefore (m-1)^2(\tau - \tau^{-1})^2 - (\delta - \delta^{-1})^2 &= 0 \\ (m-1)(\tau - \tau^{-1}) &= \pm (\delta - \delta^{-1}) \quad (12) \\ (m-1) \sin 2\alpha &= \pm \sin 2\alpha(m-1) \end{aligned}$$

今  $x \equiv 2\alpha(m-1)$  とおくと

$$\left. \begin{aligned} \frac{\sin x}{x} &= \pm \frac{\sin 2\alpha}{2\alpha} \\ m &= 1 + \frac{x}{2\alpha} \end{aligned} \right\} \quad (13)$$

これが  $m$  を決定する式である。

$$(11) (12) \text{ より} \quad (m-1)(\gamma - \gamma^{-1})(C \pm D) = 0$$

(1)  $\gamma \neq \gamma^{-1}$  のとき

$$D = \mp C$$

$$\left. \begin{aligned} (10) \text{ より } mA &= \{- (m-1) \cos 2\alpha \pm \cos (2\alpha(m-1))\} C \\ B &= \mp A \end{aligned} \right\} (14)$$

ただし複号同順, (8)より上号は対称流, 下号は反対称流に対応する。

$$(2) \quad \gamma - \gamma^{-1} = 0 \quad \text{のとき} \quad (\sin 2\alpha = 0)$$

$$2\alpha = 2\pi, \pi.$$

この場合は以下に見るように  $m$  は実数で

$$B = \bar{A}, \quad D = \bar{C}.$$

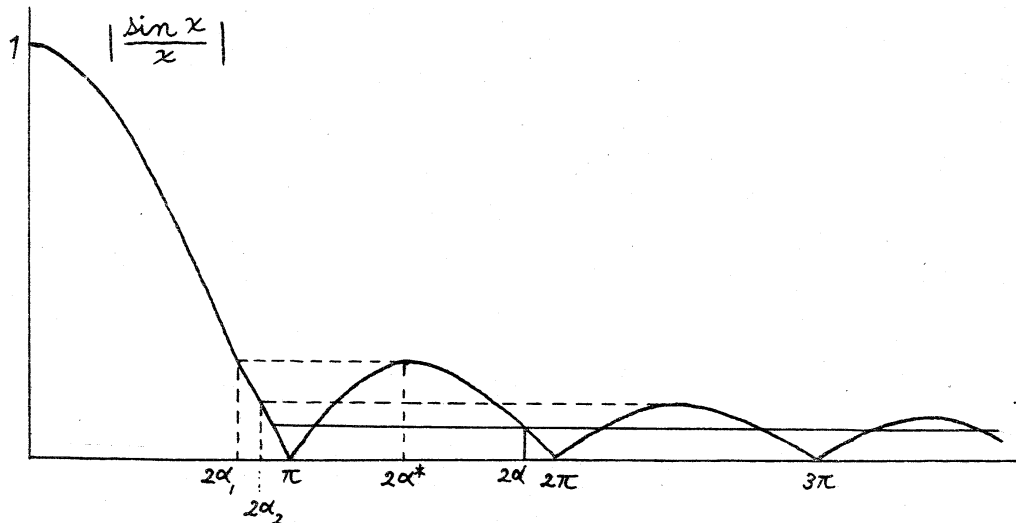
$$\left. \begin{aligned} 2\alpha &= 2\pi \text{ のとき} \quad m = \frac{n}{2} + 1 \quad (n=1, 2, \dots) \\ mA &= -(m-1)C - (-1)^n \bar{C}. \end{aligned} \right\} (15)$$

$2\alpha = \pi$  のとき (断面が角をなすとき)

$$m = n+1 \quad (n=1, 2, \dots)$$

$$mA = (m-1)C - (-1)^n \bar{C}.$$

さて,  $m$  を定める式 (13) を調べるには 2-図によればよい。  
 $2\alpha$  が与えられたときの (13) の解  $x$  を求めるには, 図の横軸に平行な実線と  $|\sin x/x|$  のグラフとの交点の横座標を見ればよい。



2-図

$\alpha = 2\pi, \pi$  の時, 実数  $m$  は 無数にある。(前出).

$\alpha \neq 2\pi, \pi$  の時, 実数の  $m$  は 有限個しか存しない。

$2\alpha < 2\alpha_1 \doteq 146^\circ$  の時, 反対称流に対応する  $m$  は  
すべて複素数。

$2\alpha < 2\alpha_2 \doteq 156^\circ$  の時, 対称流に対応する  $m$  は  
すべて複素数。

$m$  が複素数のときの値を求めるには,

$$m-1 = p + iq \quad \text{とおくと}$$

$$\begin{aligned} \sin 2\alpha p \cosh 2\alpha q &= \pm p \sin 2\alpha, \\ \cos 2\alpha p \sinh 2\alpha q &= \pm q \sin 2\alpha, \end{aligned} \quad \left. \right\} \quad (16)$$

これから  $p, q$  を定める。

$m$  が複素数の時の流れの様子を調べる。例えは

$$z^m = z^{p+q} = r^{p \ln r} \{ \cos(q \ln r) + i \sin(q \ln r) \} \\ \times e^{-q\theta} \{ \cos(p\theta) + i \sin(p\theta) \}.$$

3-図 に見るように、 $x$  軸上に中心を持つ渦が原点に向って無限個並ぶ。

各渦の中心の位置  $x_n$  は、 $x$  軸上で  $v=0$  となる点である。

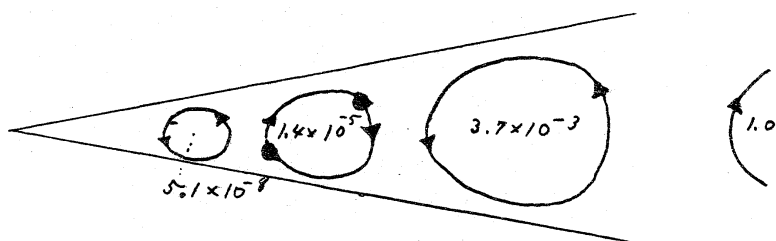
$$\frac{x_n}{x_{n+1}} = e^{\pi/q} \equiv p \geq 1$$

公比  $p$  で、等比級数的に渦の大きさは小さくなる。

各渦の強さは、 $x$  軸上で 1 つ の極大値  $v_{n,\max}$  を以て、その目安とすると

$$\frac{v_{n,\max}}{v_{n+1,\max}} = e^{-\pi/p} \equiv \omega \geq 1$$

公比  $\omega$  で、等地級数的に弱くなる。



3-図  $2\alpha = 20^\circ$  の時の渦

一般に、角から離れた所では流れの様子は無限の多様性を持つから、角の近傍での解も一般解としては無限個の任意定

数を含まねばならぬ。すなはち

$$\begin{aligned}\Psi &= \sum_m \Psi_m \\ &= \sum_m (C_{m,1} \Psi_{m,\text{odd}} + C_{m,2} \Psi_{m,\text{even}}).\end{aligned}\quad (17)$$

各次数  $m$  ごとに、2個の任意定数が参加してくる。

#### §4. Navier-Stokes 方程式の解

N-S 方程式(3')を見れば明らかなるようく、 $\Psi$  中に  $r^{m_1}, r^{m_2}$  の次数の項があれば両者による慣性項(非線型項)は  $r$  の  $m_1 + m_2 - 4$  次となり、これに対応して  $\Psi$  の中に  $r$  の  $m_1 + m_2 = m'$  次の項  $F_{m'}$  が必要となる。

今、記述の簡単のため  $2\alpha \neq 2\pi, \pi$  として  $m' = m_1 + m_2$  は前節で得られる  $m$  と一致することはないものとする。

慣性項を  $\frac{i}{2} R G_{m_1, m_2}$  と書くと、 $F_{m'}$  の充たすべき方程式は  $F_{m', z\bar{z}\bar{z}\bar{z}} = -\frac{i}{2} R G_{m_1, m_2}$  となるが、 $F_{m'} \equiv R \Psi_{m'}^z$  と書けば

$$\Psi_{m', z\bar{z}\bar{z}\bar{z}}^z = -\frac{i}{2} G_{m_1, m_2}. \quad (\text{註})$$

更に、 $\Psi_{m'}^z$  と  $\Psi_m$  の作る慣性項から、 $\Psi_{m''}^z$  も必要となる。

以下同様にして、N-S 方程式の解を角の近傍で  $r$  の中に展開したもの的一般形は

(註) この与えられた  $m' = m_1 + m_2$  に対し、境界条件が充され得るかどうかは問題である。

$$\Psi = \sum \Psi_m + R \sum \Psi_m' + R^2 \sum \Psi_m'' + \dots \quad . \quad (18)$$

任意定数は  $\Psi_m$  の中に 2 個ずつ入っている。

これは Stokes 近似を第 0 近似として逐次近似したものとも考えられるが、この場合の仮定は  $R \sim 0$  ではなく、 $R \sim 0$  である。  $R$  が大きければ、この展開の収斂半径は恐らく非常に小さくなる。このことは、基礎方程式(3')において  $R$  が大きい時 Stokes 近似の項  $\Psi_{zzzz}$  は重要でなくなることから、当然であろう。

方程式(3')では代表的長さ（例えば板では断面の長さ）が 1 であるが、(3')から(3'')のように変数変換をすると、式中で  $R$  は表われないが代表的長さが  $R$  となる。このようなことを考えると、 $\Psi$  の展開式(18)の収斂半径は  $\frac{1}{R}$  の程度と豫想してもよいかも知れない。

Oseen 近似ではあるが、平板に流れが垂直にあたる場合、王田・宮城の論文<sup>(3)</sup>に見るように、レイノルズ数  $R$  が大きいと、板の端の大部分で渦度（ $\Psi$  を 2 回微分したもの）は  $R^{-\frac{1}{2}}$  の程度で、端に非常に近い所で  $R^{-\frac{1}{2}}$  の程度である。これも同様の事情であると解される。

なお、実験や数値計算で、Moffatt の述べた渦を検出できるかどうか： 展開式の収束半径が 3、4 は非常に小さく、

また §3 に述べられよう  $\zeta$  湧の強さも角の頂点に近づくにつれ  
幾何級数的に減少するので、検出は困難であると思われる。

しかし Reynolds 数  $R$  を充分小さくすれば牧東半径がひろ  
がって、測定または計算にひっかかる可能性がある。<sup>(4)</sup>

### 文献

- (1) Dean, W.R. & Montagnon, P.E.: On the steady motion of viscous liquid in a corner, Proc., Camb. Phil. Soc. 45 (1949) 389-384.
- (2) Moffatt, H.K.: Viscous and resistive eddies near a sharp corner, J. Fluid Mech. 18 (1964) 1-18.
- (3) Tamada, K. & Miyagi, T.: Laminar viscous flow past a flat plate set normal to the stream, with special reference to high Reynolds numbers, J. Phys. Soc. Japan, 17 (1962) 373-390.
- (4) Schubert, G.: Viscous flow near a cusped corner, J. Fluid Mech. 27 (1967) 647-656.